

УДК 539.3

ГРАНИЧНЫЕ ИНТЕГРАЛЬНЫЕ УРАВНЕНИЯ ДЛЯ РЕШЕНИЯ ДИНАМИЧЕСКИХ ЗАДАЧ ТРЕХМЕРНОЙ ТЕОРИИ ПОРОУПРУГОСТИ^{*)}

А.В. Аменицкий, А.А. Белов, Л.А. Игумнов, И.С. Карелин

НИИМ Нижегородского государственного университета им. Н.И. Лобачевского

Рассматривается модель пористой среды с двухфазной внутренней структурой, предложенная Био. Для решения краевых задач трехмерной динамической теории пороупругости построена новая система граничных интегральных уравнений. Для создания гранично-элементной методики разработан новый метод численного обращения преобразования Лапласа. Представлены численные эксперименты.

Ключевые слова: новые граничные интегральные уравнения, трехмерная динамическая теория пороупругости.

Введение

Дисперсные среды, в частности пористые материалы, широко распространены в природе и технике: например, к ним относятся насыщенные газом или жидкостью грунты и горные породы, строительные материалы (древесина, песок, кирпич и технические пены). Исследование волновых процессов в пороупругих телах и средах представляет значительный интерес. Существенным для волновой картины является наличие в пороупругой трехмерной среде трех видов волн. Началом активных исследований волновых процессов в насыщенных пористых средах послужила работа Я.И. Френкеля [1]. Теория М. Био [2, 3] опирается на те же соотношения между напряжениями и деформациями, что и в работе Я.И. Френкеля, но отличается большей общностью.

Большинство имеющихся работ по изучению колебаний в пористых средах опирается либо на метод нормальных мод, либо на лучевые методы. Вопросы, связанные с построением интегральных представлений решений в полной строгой математической постановке, являются актуальными. Несмотря на то, что в литературе представлены варианты сингулярных граничных интегральных уравнений (ГИУ) [4, 5], имеются лишь единичные гранично-элементные решения краевых динамических задач пороупругости.

1. Математическая модель пороупругой среды

Система дифференциальных уравнений в преобразованиях Лапласа (параметр s) для смещения \tilde{u}_i и порового давления \tilde{p} имеет следующий вид [4]:

^{*)} Выполнено в рамках реализации ФЦП «Научные и научно-педагогические кадры инновационной России» на 2009–2013 годы, гранта Президента РФ для государственной поддержки ведущих научных школ РФ (проект НШ-3367.2008.8).

$$G\tilde{u}_{i,jj} + \left(K + \frac{1}{3}G \right) \tilde{u}_{j,ij} - (\alpha - \beta) \tilde{p}_{,i} - s^2(\rho - \beta\rho_f) \tilde{u}_i = -\tilde{F}_i,$$

$$\frac{\beta}{s\rho_f} \tilde{p}_{,ii} - \frac{\phi^2 s}{R} \tilde{p} - (\alpha - \beta)s \tilde{u}_{i,i} = -\tilde{a},$$

$$\beta = \frac{k\rho_f \phi^2 s^2}{\phi^2 s + s^2 k(\rho_a + \phi\rho_f)},$$

где G, K – константы упругости; ϕ – пористость, k – проницаемость, α – эффективный коэффициент напряжений; ρ, ρ_a, ρ_f – плотности пористого скелета, присоединенной массы и жидкой среды; \tilde{F}_i, \tilde{a} – плотности источников.

Фундаментальное решение для этой системы построено в [4], однако при построении матриц сингулярных решений допущены ошибки, что, в свою очередь, привело к ошибочному интегральному представлению и ГИУ для порового давления.

2. Граничные интегральные уравнения

Интегральное представление прямого подхода имеет следующий вид:

$$\begin{bmatrix} \tilde{u}_j \\ \tilde{p} \end{bmatrix} = \int_{\Gamma} \begin{bmatrix} \tilde{U}_{ij}^s & -\tilde{P}_j^s \\ \tilde{U}_i^f & -\tilde{P}^f \end{bmatrix} \begin{bmatrix} \tilde{t}_i \\ \tilde{q} \end{bmatrix} d\Gamma - \int_{\Gamma} \begin{bmatrix} \tilde{T}_{ij}^s & -\tilde{Q}_j^s \\ \tilde{T}_i^f & -\tilde{Q}^f \end{bmatrix} \begin{bmatrix} \tilde{u}_i \\ \tilde{p} \end{bmatrix} d\Gamma.$$

Компоненты матриц – ядер интегрального представления – можно найти в [4]. Остановимся лишь на компонентах \tilde{T}_i^f , при получении которых в [4] допущена ошибка.

Формула для построения \tilde{T}_i^f следующая:

$$\tilde{T}_i^f = \left[\left(\left(K - \frac{2}{3}G \right) \tilde{U}_{k,k}^f + \alpha s \tilde{P}^f \right) \delta_{il} + G(\tilde{U}_{i,l}^f + \tilde{U}_{l,i}^f) \right] n_l,$$

$$\tilde{P}_j^s = \frac{\alpha r_i}{4\pi r k (K + 4G/3)(\lambda_1^2 - \lambda_2^2)} \left[\left(\lambda_1 + \frac{1}{r} \right) e^{-\lambda_1 r} - \left(\lambda_2 + \frac{1}{r} \right) e^{-\lambda_2 r} \right],$$

$$\tilde{U}_i^f = \left(1 - \frac{s\rho_f k}{\alpha} \right) s \tilde{P}_i^s,$$

$$\tilde{P}^f = \frac{1}{4\pi r k (\lambda_1^2 - \lambda_2^2)} [(\lambda_1^2 - \lambda_4^2) e^{-\lambda_1 r} - (\lambda_2^2 - \lambda_4^2) e^{-\lambda_2 r}],$$

где

$$\lambda_{1,2}^2 = \frac{1}{2} \left[\frac{\phi^2 s^2 \rho_f}{\beta R} + \frac{s^2(\rho - \beta\rho_f)}{K + 4G/3} + \frac{s^2 \rho_f (\alpha - \beta)^2}{\beta(K + 4G/3)} \right] \pm$$

$$\pm \frac{1}{2} \sqrt{\left(\frac{\phi^2 s^2 \rho_f}{\beta R} + \frac{s^2(\rho - \beta\rho_f)}{K + 4G/3} + \frac{s^2 \rho_f (\alpha - \beta)^2}{\beta(K + 4G/3)} \right)^2 - 4 \frac{s^4 \phi^2 \rho_f (\rho - \beta\rho_f)}{\beta R (K + 4G/3)},}$$

$$R_k = (3r_{,i} r_{,j} - \delta_{ij}) / r^2 + \lambda_k (3r_{,i} r_{,j} - \delta_{ij}) / r + \lambda_k^2 r_{,i} r_{,j},$$

$$\lambda_4^2 = \frac{s^2 \rho}{K + 4G/3}.$$

Зная \tilde{P}^f , запишем следующие выражения:

$$\delta_{il} n_l \alpha s \tilde{P}^f = \alpha s \frac{s \rho_f}{4\pi r \beta (\lambda_1^2 - \lambda_2^2)} \left[(\lambda_1^2 - \lambda_4^2) e^{-\lambda_1 r} (\lambda_2^2 - \lambda_4^2) e^{-\lambda_2 r} \right] \delta_{il} n_l.$$

Зная \tilde{U}^f , найдем производную по x_j :

$$\begin{aligned} \tilde{U}_{k,j}^f = & s \frac{(\alpha - \beta) s \rho_f}{4\pi \beta (K + 4G/3) (\lambda_1^2 - \lambda_2^2)} \left[\lambda_1 \left(\frac{r_{2k}}{r} e^{-\lambda_1 r} \right)_{,j} + \left(\frac{r_{2k}}{r^2} e^{-\lambda_1 r} \right)_{,j} - \lambda_2 \left(\frac{r_{2k}}{r} e^{-\lambda_2 r} \right)_{,j} - \right. \\ & \left. - \left(\frac{r_{2k}}{r^2} e^{-\lambda_2 r} \right)_{,j} \right] = s \frac{(\alpha - \beta) s \rho_f}{4\pi \beta (K + 4G/3) (\lambda_1^2 - \lambda_2^2)} \left[\lambda_1 \left(\frac{x_k}{r^2} e^{-\lambda_1 r} \right)_{,j} + \left(\frac{x_k}{r^3} e^{-\lambda_1 r} \right)_{,j} - \right. \\ & \left. - \lambda_2 \left(\frac{x_k}{r^2} e^{-\lambda_2 r} \right)_{,j} - \left(\frac{x_k}{r^3} e^{-\lambda_2 r} \right)_{,j} \right] = s \frac{(\alpha - \beta) s \rho_f}{4\pi \beta (K + 4G/3) (\lambda_1^2 - \lambda_2^2)} \left[\lambda_1 \delta_{kj} \frac{e^{-\lambda_1 r}}{r^2} + \right. \quad (1) \\ & + \lambda_1 x_k \left(\frac{e^{-\lambda_1 r}}{r^2} \right)_{,j} + \delta_{kj} \frac{e^{-\lambda_1 r}}{r^3} + x_k \left(\frac{e^{-\lambda_1 r}}{r^3} \right)_{,j} - \lambda_2 \delta_{kj} \frac{e^{-\lambda_2 r}}{r^2} - \lambda_2 x_k \left(\frac{e^{-\lambda_2 r}}{r^2} \right)_{,j} - \delta_{kj} \frac{e^{-\lambda_2 r}}{r^3} - \\ & \left. - x_k \left(\frac{e^{-\lambda_2 r}}{r^3} \right)_{,j} \right] = \frac{s^2 \rho_f}{4\pi \rho (\lambda_1^2 - \lambda_2^2)} \frac{\alpha - \beta}{K + 4G/3} \left[\lambda_1 \delta_{kj} \frac{e^{-\lambda_1 r}}{r^2} - \lambda_1 x_k \frac{(2 + \lambda_1 r) x_j e^{-\lambda_1 r}}{r^4} + \right. \\ & + \delta_{kj} \frac{e^{-\lambda_1 r}}{r^3} - x_k \frac{(3 + \lambda_1 r) x_j e^{-\lambda_1 r}}{r^5} - \lambda_2 \delta_{kj} \frac{e^{-\lambda_2 r}}{r^2} + \lambda_2 x_k \frac{(2 + \lambda_2 r) x_j e^{-\lambda_2 r}}{r^4} - \\ & \left. - \delta_{kj} \frac{e^{-\lambda_2 r}}{r^3} + x_k \frac{(3 + \lambda_2 r) x_j e^{-\lambda_2 r}}{r^5} \right]. \end{aligned}$$

Эта формула является основной для устранения ошибки в выражении для \tilde{T}_i^f .

Если записать соотношение

$$\begin{aligned} \left(K - \frac{2}{3} G \right) \tilde{U}_{k,k}^j \delta_{il} n_l = & \frac{s^2 \rho_f}{4\pi \beta (\lambda_1^2 - \lambda_2^2)} \times \\ \times \frac{1}{r} \left(\frac{\alpha - \beta}{K + 4G/3} \right) \left[\left(\frac{2}{r^2} + \frac{2\lambda_2}{r} + \lambda_2^2 \right) e^{-\lambda_2 r} - \left(\frac{2}{r^2} + \frac{2\lambda_1}{r} + \lambda_1^2 \right) e^{-\lambda_1 r} \right] n_i, \quad (2) \end{aligned}$$

то получим на основе (1) следующий вид для \tilde{T}_i^f [4]:

$$\begin{aligned} \tilde{T}_i^f = & \frac{s^2 \rho_f}{4\pi r \beta (\lambda_1^2 - \lambda_2^2)} \left[\frac{n_j (\alpha - \beta) 2G}{K + 4G/3} (R_2 e^{-\lambda_2 r} - R_1 e^{-\lambda_1 r}) + \right. \\ & \left. + n_i e^{-\lambda_2 r} \left(\frac{\alpha - \beta}{K + 4G/3} \left(\frac{2}{r^2} + \frac{2\lambda_2}{r} + \lambda_2^2 \right) - \alpha (\lambda_2^2 - \lambda_4^2) \right) - \right. \end{aligned}$$

$$-n_i e^{-\lambda_1 r} \left(\frac{(\alpha - \beta)(K - 2G/3)}{K + 4G/3} \left(\frac{2}{r^2} + \frac{2\lambda_1}{r} + \lambda_1^2 \right) - \alpha(\lambda_1^2 - \lambda_4^2) \right) \Bigg].$$

Выражение (2) может быть записано с использованием (1) только при условии, что слагаемые, содержащие дельту Кронекера, не складываются, что неверно. Правильное соотношение будет таким:

$$\left(K - \frac{2}{3}G \right) U_{k,k}^j \delta_{ie} n_e = \frac{s^2 \rho_f}{4\pi r \beta (\lambda_1^2 - \lambda_2^2)} \frac{1}{r} \left(\frac{(\alpha - \beta)(K - 2G/3)}{K + 4G/3} [\lambda_2^2 e^{-\lambda_2 r} - \lambda_1^2 e^{-\lambda_1 r}] \right) n_i.$$

На основе этого соотношения получим ядро:

$$\begin{aligned} \tilde{T}_i^f &= \frac{s^2 \rho_f}{4\pi r \beta (\lambda_1^2 - \lambda_2^2)} \left[\frac{n_j (\alpha - \beta) 2G}{K + 4G/3} (R_2 e^{-\lambda_2 r} - R_1 e^{-\lambda_1 r}) + \right. \\ &+ n_i e^{-\lambda_2 r} \left(\frac{(\alpha - \beta)(K - 2G/3)}{K + 4G/3} \lambda_2^2 - \alpha(\lambda_2^2 - \lambda_4^2) \right) - \\ &\left. - n_i e^{-\lambda_1 r} \left(\frac{(\alpha - \beta)(K - 2G/3)}{K + 4G/3} \lambda_1^2 - \alpha(\lambda_1^2 - \lambda_4^2) \right) \right]. \end{aligned}$$

Это ядро далее используется в ГИУ и в гранично-элементной дискретизации. Ядра интегральных представлений допускают следующее выделение особенностей:

$$\tilde{P}_i^s = O(r^0), \quad \tilde{U}_i^f = O(r^0),$$

$$\tilde{U}_{ij}^s = \frac{1 + \nu}{8\pi E(1 - \nu)} \{r_i r_j + \delta_{ij}(3 - 4\nu)\} \frac{1}{r} + O(r^0),$$

$$\tilde{P}^f = \frac{\rho_f s}{4\pi \beta r} + O(r^0),$$

$$\tilde{Q}_j^s = \frac{1 + \nu}{8\pi E(1 - \nu)} \{ \alpha(1 - 2\nu)(r_n r_j - n_j) - 2\beta(1 - \nu)(r_n r_j + n_j) \} \frac{1}{r} + O(r^0),$$

$$\tilde{T}_i^f = \frac{\rho_f s^2}{8\pi \beta} \left\{ (\alpha - \beta) \frac{1 - 2\nu}{1 - \nu} r_i r_j + n_i \frac{\alpha + \beta(1 - 2\nu)}{1 - \nu} \right\} \frac{1}{r} + O(r^0),$$

$$\tilde{T}_{ij}^s = \frac{-((1 - 2\nu)\delta_{ij} + 3r_i r_j) r_n + (1 - 2\nu)(r_j n_i - r_i n_j)}{8\pi(1 - \nu)r^2} + O(r^0),$$

$$\tilde{Q}^f = -\frac{r_n}{4\pi r^2} + O(r^0).$$

Итоговая система ГИУ примет вид:

$$\begin{bmatrix} c_{ij}(y) & 0 \\ 0 & c(y) \end{bmatrix} \begin{bmatrix} u_i(t, x) \\ p(t, x) \end{bmatrix} + \int_0^t \int_{\Gamma} \begin{bmatrix} T_{ij}^s(t - \tau, y, x) & Q_j^s(t - \tau, y, x) \\ T_i^f(t - \tau, y, x) & Q^f(t - \tau, y, x) \end{bmatrix} \begin{bmatrix} u_i(\tau, x) \\ p(\tau, x) \end{bmatrix} d\Gamma d\tau =$$

$$= \int_0^t \int_{\Gamma} \begin{bmatrix} U_{ij}^s(t-\tau, y, x) & -P_j^s(t-\tau, y, x) \\ U_i^f(t-\tau, y, x) & -P^f(t-\tau, y, x) \end{bmatrix} \begin{bmatrix} t_i(\tau, x) \\ q(\tau, x) \end{bmatrix} d\Gamma d\tau.$$

На основе этой системы строится дискретный аналог, детальное описание которого можно найти в [6].

3. Гранично-элементная дискретизация

Чтобы ввести ГЭ-дискретизацию, рассматриваем регуляризованное уравнение:

$$\hat{\alpha}_{\Omega} \nu_k(x, t) + \int_0^t \int_{\Gamma} (\hat{T}_{ik}(x, y, t - \tau) \hat{v}_i(y, \tau) - \hat{T}_{ik}^0(x, y, t - \tau) \hat{v}_i(x, \tau) - \hat{G}_{ik}(x, y, t - \tau) \hat{t}_i(y, \tau)) d\Gamma d\tau = 0, \quad (x \in \partial\Gamma), \quad t = [\hat{t}_1, \hat{t}_2, \hat{t}_3, q]^T.$$

Матрица – ядро \hat{T}_{ik}^0 – образована слагаемыми компонент, содержащих особенности. Базовый процесс ГЭ-дискретизации состоит в разбиении поверхности Γ на граничные элементы: четырехугольные и треугольные восьмиузловые биквадратичные элементы. При этом треугольные элементы рассматриваются как вырожденные четырехугольные элементы (рис. 1). Связь локальной и глобальной систем координат $\xi = (\xi_1, \xi_2)$, $y = (y_1(\xi), y_2(\xi), y_3(\xi))$, записывается через функции формы $N^l(\xi)$:

$$y_i(\xi) = \sum_{l=1}^8 N^l(\xi) y_i^{\beta(k,l)}, \quad i = 1, 2, 3, \quad \xi \in \Delta_e,$$

где $\beta(k, l)$ – глобальный номер узла, имеющего в k -м элементе локальный номер l .

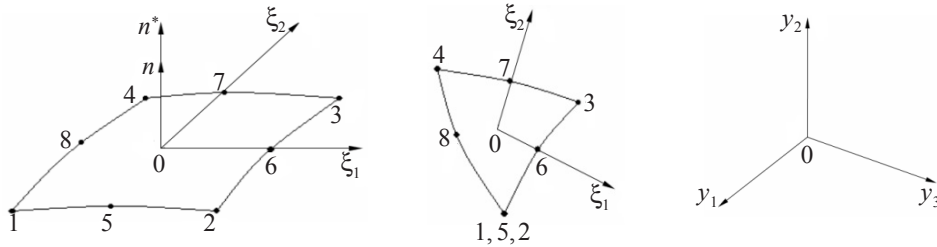


Рис. 1

Далее определяется естественный базис, метрический тензор и единичная нормаль на элементе. Неизвестные граничные поля (\mathbf{v}, t) интерполируются через узловые значения.

Рассматриваем случай, называемый согласованным интерполированием, где для аппроксимации граничных перемещений применяем билинейные элементы, а для аппроксимации поверхностных сил – постоянные элементы.

Для получения дискретного аналога ГИУ применяем метод коллокации. В качестве узлов коллокации y^m выбираются узлы аппроксимации исходных граничных функций. В итоге формируется система линейных алгебраических уравнений. Необходимо отметить, что коэффициенты дискретных аналогов имеют особенность типа $1/r$ и $1/r^2$. Это определяет специфику вычислительного процесса. Регулярный интеграл вычисляется на основе квадратурной формулы Гаусса. Для интегралов с особенностью используется прием ее устранения.

Для решения ГИУ по времени используем следующий алгоритм. Пусть имеем интеграл:

$$y = \int_0^t q(\tau) d\tau,$$

тогда можно построить квадратурную формулу:

$$y(n\Delta t) = \sum_{k=0}^n \omega_{n-k}(\Delta t), \quad n = 0, 1, \dots, N,$$

$$\omega_n(\Delta t) = \frac{R^{-n}}{L} \sum_{l=0}^{L-1} \bar{q}(\gamma(R e^{il2\pi/L}) / \Delta t) e^{-inl2\pi/L},$$

$$\gamma(z) = \frac{3}{2} - 2z + \frac{z^2}{2},$$

где \bar{q} – изображение по Лапласу функции q .

Спецификой алгоритма является то, что оригинал искомой функции $y(t)$ строится не на основе базового интегрального соотношения для обратного преобразования Лапласа (интеграла Меллина), как строятся все алгоритмы обращения, а на основе теоремы об интегрировании оригинала для $g(t)$.

4. Численные результаты

Рассмотрена задача, изображенная на рис. 2, со следующими параметрами: $K = 8 \cdot 10^9$ Н/м²; $G = 6 \cdot 10^9$ Н/м²; $R = 4,7 \cdot 10^8$ Н/м²; $k = 1,9 \cdot 10^{-10}$ м⁴/(Н·с); $\rho = 2458$ кг/м³; $\rho_f = 1000$ кг/м³; $\phi = 0,19$; $\alpha = 0,867$. Нагрузка, действующая на тело $t_2 = 1$ Н/м². Граничные условия в области Лапласа имеют вид: $\tilde{u}_2(y_2=0) = 0$, $\tilde{q}_2(y_2=0) = 0$, $\tilde{\sigma}_2(y_2=l) = -1/s$, $\tilde{p}(y_2=l) = 0$.

Гранично-элементная сетка, изображенная на рис. 3, состоит из 504 элементов. Результаты расчетов перемещений и давлений приведены на рис. 4, 5 соответственно. Графики, изображенные сплошной линией, соответствуют точному решению, штриховой – решениям, полученным по новым ядрам, пунктирной – по ядрам из [4].

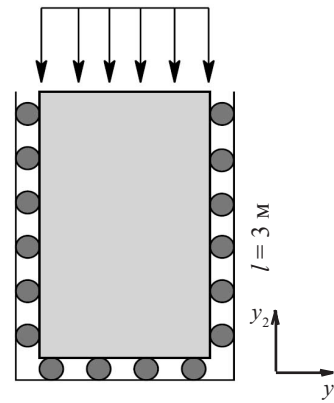


Рис. 2

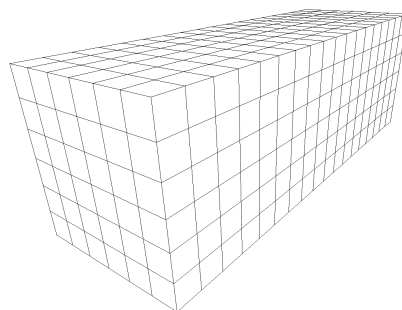


Рис. 3

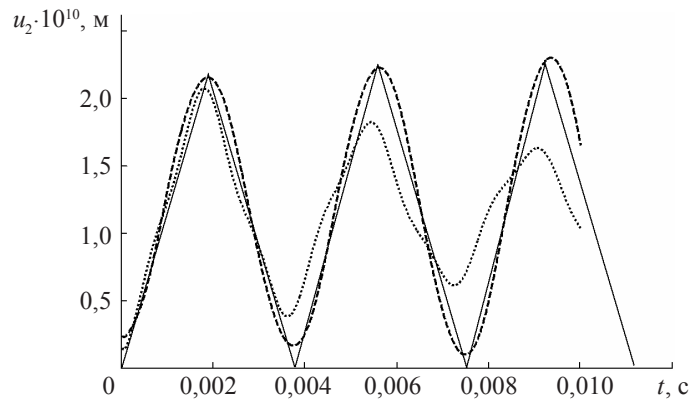


Рис. 4

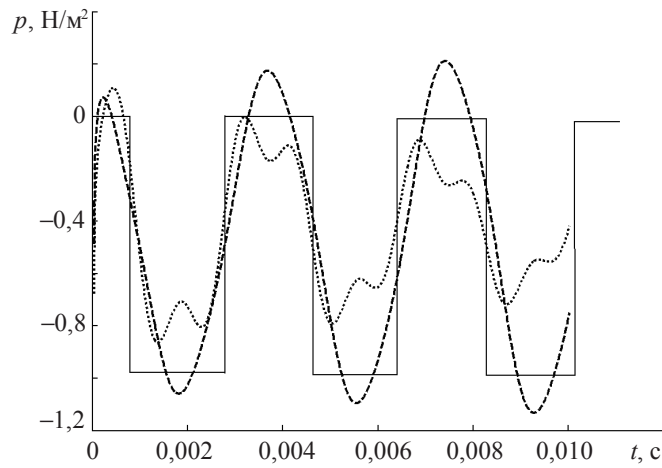


Рис. 5

Рассмотрим задачу о действии вертикальной силы $t_3(t) = P_0 f(t)$, $P_0 = -1000 \text{ Н/м}^2$, $f(t) = H(t)$, на поверхность полупространства (рис. 6) со следующими параметрами материала: $E = 2,544 \cdot 10^8 \text{ Н/м}^2$, $k = 3,55 \cdot 10^{-3} \text{ м}^4/(\text{Н} \cdot \text{с})$, $\nu = 0,298$, $R = 1,2 \cdot 10^9 \text{ Н/м}^2$, $\rho = 1884 \text{ кг/м}^3$, $\rho_f = 1000 \text{ кг/м}^3$, $\phi = 0,48$, $\alpha = 0,98$.

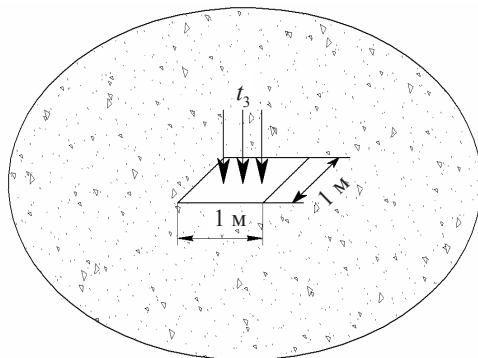


Рис. 6

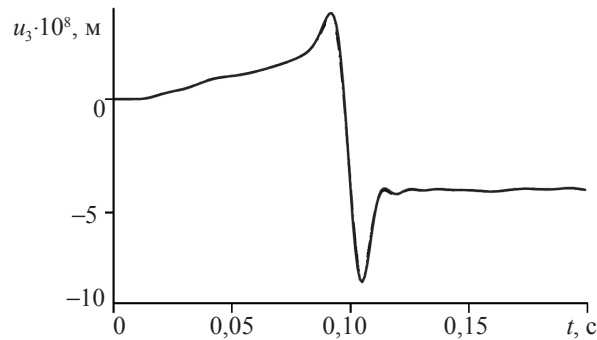


Рис. 4

На рис. 7 приведены вертикальные перемещения на расстоянии 20 м от области нагружения. Поверхность полупространства описывается регулярной ГЭ-сеткой, состоящей из 3088 элементов.

Построены новые сингулярные ГИУ пороупругости (модель Био) для решения краевых динамических задач. Показано, что результаты Schanz М. [4] содержат ошибку, то есть предложенные им интегральные решения не являются эквивалентными исходной дифференциальной постановке. На основе новых ГИУ пороупругости получены численные гранично-элементные решения прямых трехмерных динамических задач.

Литература

1. Френкель, Я.И. К теории сейсмических и сейсмоэлектрических явлений во влажной почве / Я.И. Френкель // Изв. АН СССР. Сер. географ. и геофизич. – 1944. – Т. 8, №4. – С. 65–78.
2. Biot, M. Theory of propagation of elastic waves in a fluid-saturated porous solid. I. Low-frequency range / M. Biot // J. Acoust. Soc. Am. – 1956. – V. 28, №2. – P. 168–178.
3. Biot, M. Theory of propagation of elastic waves in a fluid-saturated porous solid. II. Higher-frequency range / M. Biot // J. Acoust. Soc. Am. – 1956. – V. 28, №2. – P. 179–191.
4. Schanz, M. Wave propagation in viscoelastic and poroelastic continua / M. Schanz. – Berlin: Springer, 2001. – 170 p.
5. Manolis, G.D. Integral formulation and fundamental solutions of dynamic poroelasticity and thermoelasticity / G.D. Manolis, D.E. Beskos // Ada Mechanica. – 1989. – №76. – P. 89–104.
6. Баженов, В.Г. Методы граничных интегральных уравнений и граничных элементов в решении задач трехмерной динамической теории упругости с сопряженными полями / В.Г. Баженов, Л.А. Игумнов. – М.: Физматлит, 2008. – 352 с.

[08.10.2009]

BOUNDARY INTEGRAL EQUATIONS FOR ANALYZING DYNAMIC PROBLEMS OF 3-D POROUSELASTICITY

A.V. Amenitsky, A.A. Belov, L.A. Igumnov, I.S. Karelin

A model of a porous medium with a two-phase internal structure introduced by Biot is studied. To analyze boundary-value problems of 3-D poroelasticity, a new system of boundary integral equations is constructed. To develop a boundary-element methodology, a new method for numerically inverting Laplace transform, is constructed. Numerical experiments are presented.

Key words: novel boundary integral equations, 3-D dynamic poroelasticity.